

## تأثیر نیتروژن بر ریزساختار و خواص مکانیکی و خوردگی فولادهای زنگ نزن آستانی بدون نیکل\*

زنگ نزن آستانی بدون نیکل \*

سید مهدی عباسی<sup>(۱)</sup> شهرام خیراندیش<sup>(۲)</sup> سید محسن صالحی<sup>(۳)</sup>

### چکیده

مقادیر متفاوتی از نیتروژن به فولادهای زنگ نزن آستانی بدون نیکل پر منگنز به کمک فروآلیاز نیتریدی اضافه شد. ریزساختار توسط میکروسکوپ نوری، خواص مکانیکی توسط سختی سنجی و کشش مورد ارزیابی قرار گرفت. همچنین خواص خوردگی توسط طیف سنجی امپانس الکتروشیمیابی و پلاریزاسیون بررسی شد. نتایج نشان داد که فولاد پرنیتروژن و کم نیتروژن به ترتیب دارای ساختار آستانی و آستانی + فریت است. افزایش نیتروژن باعث افزایش استحکام تسلیم و استحکام کشش نهایی و سختی می شود. علاوه بر این، افزایش نیتروژن باعث کاهش چگالی جریان و جابجایی پتانسیل خوردگی به مقادیر مثبت تر می شود.

**واژه‌های کلیدی** فولادهای زنگ نزن آستانی، نیتروژن، خواص مکانیکی، خوردگی.

## Effects of Nitrogen on Microstructure, Mechanical Properties and Corrosion Behavior in Nickel-Free Austenitic Stainless Steels

S. M. Salehi

SH. Kheirandish

S. M. Abbasí

### Abstract

Different amounts of nitrogen were added to nickel-free high manganese austenitic stainless steels with addition of a nitrided ferroalloy. The microstructure was evaluated by optical microscopy and the mechanical properties were determined by macro-hardness and tensile tests. The corrosion behavior was evaluated by electrochemical impedance spectroscopy and polarization. The results showed that the microstructure of high nitrogen and low nitrogen steels were austenite and ferrite and austenite, respectively. The hardness, yield strength and ultimate tensile strength of the steels increased with increasing nitrogen content. In addition, corrosion current densities decreased and corrosion potentials shifted to more positive values with increasing nitrogen content.

**Key Words** Austenitic Stainless Steels; Nitrogen; Mechanical properties; Corrosion.

\* سخنه نخست مقاله در تاریخ ۹۴/۱/۲۳ و نسخه پایانی آن در تاریخ ۹۴/۱/۱۱ به دفتر نشریه رسیده است.

(۱) نویسنده مسئول: دانشجوی کارشناسی ارشد، دانشکده مهندسی مواد و متالورژی، دانشگاه علم و صنعت ایران.

Email: s\_ms5@yahoo.com

(۲) استاد، دانشکده مهندسی مواد و متالورژی، دانشگاه علم و صنعت ایران.

(۳) دانشیار، مرکز مواد فلزی، دانشگاه صنعتی مالک اشتر.

استحکام بدون تأثیر زیاد در چقرمگی، بهبود خواص خوردگی، افزایش استحکام کششی در دماهای بالا و کاهش تمایل به تشکیل مارتنتیت تحت اعمال کار سرد [14-10].

به منظور پیش‌بینی ریزساختار فولاد، می‌توان از روابط (۱) و (۲) مقدار کروم و نیکل معادل را محاسبه نمود؛ سپس با قرار دادن آن در نمودار شفلر که در شکل (۱) قابل مشاهده است، می‌توان ریزساختار فولاد را پیش‌بینی نمود [10]:

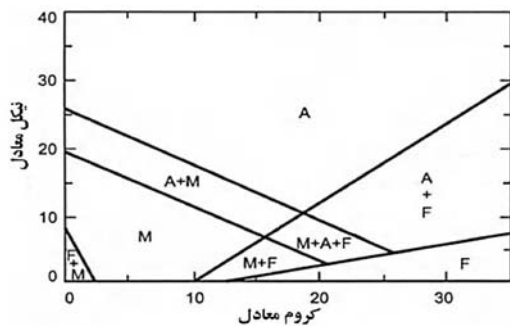
$$\text{Ni}_{\text{eq}} = \text{Ni} + \text{Co} + 0.05\text{Mn} + 0.02\text{Cu} + 0.02\text{N} + 0.02\text{C} \quad (1)$$

$$\begin{aligned} \text{Cr}_{\text{eq}} = & \text{Cr} + 2\text{Si} + 0.05\text{Mo} + 0.05\text{V} + 0.05\text{Al} \\ & + 0.075\text{Ti} + 0.075\text{W} \end{aligned} \quad (2)$$

کمترین میزان نیتروژن حل شده در فولاد برای دستیابی به ساختار تماماً آستینیتی از معادله (۳) پیروی می‌کند [9]:

$$\begin{aligned} [\% \text{N}]_{\text{min}} = & -0.088(\text{wt}/\text{C}) + 0.046(\text{wt}/\text{Cr}) - 0.0009 \\ (\text{wt}/\text{Mn}) + & 0.038(\text{wt}/\text{Mo}) - 0.053(\text{wt}/\text{Si}) + 0.0082 \\ (\text{wt}/\text{Ni}) - & 0.208(\text{wt}/\text{Cu}) - 0.032(\text{wt}/\text{W}) - 0.278 \end{aligned} \quad (3)$$

اخیراً تحقیقات زیادی بر روی فولادهای پزشکی انجام شده است. یکی از این فولادها آلیاژ P558 است [11]. این فولاد حاوی مقادیری از منگنز (۱۰ درصد) و نیتروژن (۰/۵ درصد وزنی) و مقدار کمی نیکل (کمتر از ۰/۲ درصد وزنی) است. این فولاد استحکام و سختی بالایی را در حالت آنیل شده دارد [11].



شکل ۱ تغییر مکان خطوط نمودار شفلر نسبت به نمودار مرسوم [۲۴]

## مقدمه

فولادهای زنگ نزن آستینیتی دسته وسیعی از فولادها هستند که بیشتر برای مقاومت در برابر خوردگی توسعه یافته‌اند. شکل پذیری عالی، چقرمگی خوب در دماهای اتاق و دماهای پایین، مقاومت در برابر پوسته شدن، مقاومت در برابر اکسایش و خراش در دماهای بالا از جمله ویژگی‌های این فولادها است [۱, ۲]. این ویژگی‌ها در کنار دارا بودن خاصیت پارامغناطیس در این دسته از فولادهای زنگ نزن آستینیتی، سبب شده این فولادها در حوزه پزشکی و به عنوان مواد کاشتنی مورد استفاده قرار می‌گیرند [۳]. مناسب‌ترین ریزساختار برای فولادهای زنگ نزن آستینیتی ریزساختاری است که شامل فقط آستینیت باشد و قادر هرگونه ترکیبات میانی یا فریت و مارتنتیت باشد [۴]. از جمله عناصر پایدارکننده فاز آستینیت، نیکل و نیتروژن است. اضافه کردن این دو عنصر موجب گسترش حلقه گاما می‌شود [۲].

فولادهای زنگ‌زن حاوی نیکل باعث ایجاد حساسیت، تورم و یا بیماری در انسان می‌شود [۵]. این فولادها وقتی در معرض خوردگی قرار می‌گیرند، دوز بالایی از محصولات خوردگی (شامل یون نیکل) را تولید می‌کنند که این یون با بدن در تماس قرار می‌گیرد. این محصولات می‌توانند باعث تضعیف سلول‌های بشوند که در مکانیزم‌های دفاع در برابر عفونت نقش دارند و همچنین باعث کاهش سرعت واکنش‌های ترمیمی بافت‌های بدن گردند [۶]. بر طبق مطالعات مینزل میزان نیکل در تجهیزات پزشکی باید کمتر از ۰/۲ درصد جرمی و برای استفاده از این فولاد در داخل بدن و بخش‌های حساس کمتر از ۰/۰۵ درصد باشد [۷, ۸]. به همین دلیل از نیتروژن به عنوان عنصر جایگزین نیکل استفاده می‌شود. نیتروژن به عنوان عنصر پایدار کننده قوی فاز آستینیت شناخته می‌شود. در تحقیقاتی نشان داده شده است [۹] که قدرت پایدارکننده نیتروژن، معادل یک درصد وزنی نیکل است. نیتروژن باعث بهبود خواص فولادهای آستینیتی می‌شود که از جمله آن‌ها می‌توان به موارد زیر اشاره نمود: افزایش قابل توجه در

مناسب، آلیاژهای کارشده تحت عملیات حرارتی آنیل در دمای ۱۱۰۰ درجه سانتی گراد به مدت ۱ ساعت قرار گرفت و به منظور عدم تشکیل فازهای ثانویه، نمونه‌ها در آب کوئچ شدند [۱۲]. ابتدا نمونه‌ها توسط محلول گلیسروجیا (شامل ۱۵ میلی لیتر هیدروکلرید اسید، ۵ میلی لیتر نیتریک اسید و ۱۰ میلی لیتر گلیسرول) اج شده و سپس ریزساختار آن‌ها توسط میکروسکوپ نوری مورد مطالعه قرار گرفت و توسط نرم‌افزار Clemex اندازه دانه محاسبه شد.

نمونه‌های کشش طبق استاندارد ASTM E8 تهیه شد و توسط دستگاه کشش ۸۵۱۲ Instron با سرعت ۲ میلیمتر بر دقیقه و با دقت ۱/۰ نیوتن تحت آزمایش قرار گرفت. سختی نمونه‌ها نیز به وسیله روش سختی سنجی ویکرز با بار ۳۰ کیلوگرم نیرو اندازه گیری شد.

جهت بررسی فازی نمونه‌ها از آنالیز پراش اشعه ایکس استفاده گردید. آنالیز پراش اشعه ایکس بر روی نمونه‌ها در حالت پولیش شده انجام گردید. آنالیز پراش اشعه ایکس با استفاده از دستگاه X'Pert Pro MPD PANalytical با لامپ Cukα و در ولتاژ ۴۰ کیلوولت انجام شد. آنالیزها در محدوده زاویه‌ای ۲۰۰ تا ۱۲۰ درجه با اندازه گام ۰/۰۲۶ درجه انجام شد. جهت آنالیز داده‌های پراش اشعه ایکس از نرم‌افزار X'Pert HighScore استفاده شد.

از دستگاه پتانسیوستات-گالوانوستات IVIUMSTAT جهت اندازه گیری‌های الکتروشیمیایی به دو روش طیف‌سنجی امپدانس الکتروشیمیایی و پلاریزاسیون استفاده شد. آزمایش امپدانس الکتروشیمیایی در محدوده فرکانس ۱۰ مگاهرتز تا ۱۰۰ کیلوهرتز و آزمایش پلاریزاسیون در محدوده ۲۵۰-۰ میلی ولت تا ۲ ولت و با سرعت روبش ۰/۰۰۱ ولت بر ثانیه انجام گرفت. محلول مورد استفاده در آزمایش خوردنگی محلول رینگر است که ترکیب این محلول در جدول (۳) آورده شده است [۴]. سطح در معرض خوردنگی برابر ۰/۲ سانتی‌متر مربع بود.

فولاد BioDur108 با مقدار نیتروژن ۰/۹ درصد وزنی دارای استحکام تسلیم ۶۰۶ مگاپا سکال در حالت آنیل شده است [۱۲]. در حالی که فولاد ۳۱۶L در حالت آنیل دارای استحکام تسلیم ۲۴۱ مگاپاسکال است [۱۲]. در این مقاله، فولاد زنگنزن آستینیتی بدون نیکل با دو مقدار مختلف نیتروژن به وسیله کوره القایی تولید شد و سپس فرایند ESR برای تصفیه فولاد مورد استفاده قرار گرفت. ریزساختار و خواص مکانیکی به ترتیب توسط میکروسکوپ نوری و آزمایش کشش و سختی مورد ارزیابی قرار گرفت. همچنین مقاومت به خوردنگی فولاد توسط آزمایش پتانسیوستات مورد آزمایش قرار گرفت.

### روش انجام تحقیق

ترکیب فولاد مورد استفاده در این تحقیق در جدول (۱) آورده شده است. آلیاژسازی فولاد در کوره القایی صورت گرفت و سپس تصفیه مذاب در (Electro Slag Remelting) ESR ورودی  $60 \times 300$  میلی‌متر و ابعاد شمش  $\theta$  خروجی برابر  $80 \times 150$  میلی‌متر بود. سرباره مورد استفاده در فرایند ESR ترکیب  $\text{Al}_2\text{O}_3$  و  $\text{CaF}_2$  به ترتیب با نسبت ۷۰ و ۳۰ درصد وزنی بود. همچنین از گاز نیتروژن به عنوان گاز محافظ استفاده شد.

برای نیتروژن‌دار کردن آلیاژ از فروکروم حاوی نیترید استفاده شد. ترکیب شیمیایی نیترید فروکروم در جدول (۲) آورده شده است. میزان اکسیژن و نیتروژن آلیاژ و نیترید فروکروم توسط روش آنالیز گاز با دقت  $0/025\text{ppm}$  اندازه گیری شد. همچنین آنالیز شیمیایی سایر عناصر شیمیایی با استفاده از دستگاه اسپکتروفوتومتری صورت پذیرفت.

آلیاژهای تولید شده با دو درصد مختلف نیتروژن تحت عملیات نورد گرم قرار گرفت. این عملیات در دمای ۱۲۰۰ درجه سانتی گراد انجام شد. میزان کاهش ضخامت در هر پاس نورد، حدود ۱-۲ میلی‌متر بود. به منظور دستیابی به ساختار یکنواخت با دانه‌بندی

جدول ۱ ترکیب شیمیایی فولاد پرنیتروژن و کم نیتروژن (درصد وزنی)

Fe	N	O	Al	P	S	Cu	Si	Mo	Ni	Mn	Cr	C	فولاد
پایه	۱/۱۰	۰/۰۰۵۷	۰/۰۴	۰/۰۰۳	۰/۰۳	۰/۳۲	۱/۴۱	۱/۴۰	-	۲۲/۱	۱۹/۸	۰/۰۴	پر نیتروژن
پایه	۰/۰۳	۰/۰۰۵۲	۰/۰۴	۰/۰۰۳	۰/۰۲	۰/۳۱	۱/۳	۱/۳۸	-	۲۱/۹	۱۹/۷	۰/۰۴	کم نیتروژن

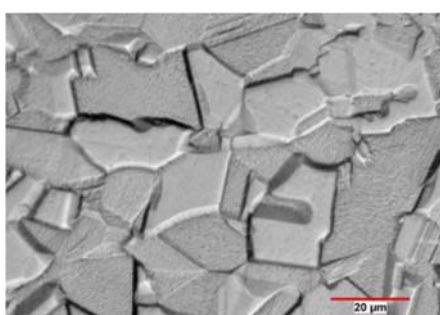
جدول ۲ ترکیب شیمیایی FeCrN

S	P	Si	C	N	Cr
۰/۰۴	۰/۰۴	۱/۵	۰/۰۶	۷-۹	۵۸-۶۵

جدول ۳ نمک‌های تشکیل دهنده محلول رینگ بر حسب گرم بر لیتر [۴]

NaCl	KCl	CaCl <sub>2</sub>	NaHCO <sub>3</sub>
۷/۵	۰/۴۲	۰/۲۵	۰/۲

جدول (۱) محاسبه نمود. سپس با نقطه‌یابی این اعداد در شکل (۱)، مشاهده می‌شود که پیش بینی ریزساختار نمودار شفلر با نتایج حاصل از بررسی‌های ریزساختاری یکسان است. از طرفی با توجه به معادله (۳) کمترین مقدار نیتروژن برای فولادها در حالت آنیل ۰/۵ درصد وزنی است و چون این مقدار در فولاد پر نیتروژن محقق شده است، ریزساختار فولاد تماماً آستنتی است؛ وندرшиو و همکاران با بررسی ریزساختار فولاد Cr<sub>۱۸</sub>Mn<sub>۱۹</sub>N<sub>۰/۹</sub> مشاهده کردند که ریزساختار فولاد مورد آزمایش تماماً آستنتی است که این امر تایید کننده ریزساختار فولاد پر نیتروژن است [۱۶]. در عوض در فولاد بدون نیتروژن به علت عدم فراهم شدن مقدار نیتروژن کافی، ساختار فولاد دوفازی شده است.



شکل ۲ تصویر میکروسکوپ نوری از ریزساختار فولاد پر نیتروژن شامل دانه‌های آستنتی به همراه دوقلویی حرارتی

## نتایج و بحث

بررسی ریزساختاری شکل (۲) و شکل (۳) ریزساختار فولادهای پر نیتروژن و کم نیتروژن را نشان می‌دهد. ریزساختار فولاد پر نیتروژن در شکل (۲)، شامل دانه‌های هم محور آستنتی با اندازه دانه حدود  $20 \pm 5$  میکرومتر است. این ساختار شامل دوقلویی آنیلی نیز می‌شود. اساس تشکیل دوقلویی آنیلی در کریستال FCC بر مبنای کاهش انرژی مرزهای دانه در ساختار کریستالی است [۱۴]. ریزساختار در شکل (۳) شامل دانه‌های فریت (مناطق تیره‌تر) و آستنتی (مناطق روشن‌تر) است. میانگین اندازه دانه‌های فریت در فولاد کم نیتروژن در حدود  $25 \pm 5$  میکرومتر و اندازه دانه‌های آستنتی در حدود  $8 \pm 3$  میکرومتر است. یکی از مکانیزم‌های کاهش اندازه دانه وجود آلومینیوم در فولاد است. مکانیزم کنترل اندازه دانه‌ها بر این اساس استوار است که آلومینیوم موجود در فولاد، با نیتروژن موجود در مذاب ترکیب شده و تشکیل ذرات بسیار ریز و پراکنده نیترید آلومینیوم را می‌دهد. این ذرات از تحرک مرز دانه‌های آستنتی کاسته و حتی می‌توانند آن‌ها را متوقف کنند [۱۵]. به این ترتیب از رشد دانه‌ها جلوگیری می‌شود.

مقدار کروم و نیکل معادل آلیاژهای پر نیتروژن و کم نیتروژن را می‌توان با استفاده از معادلات (۱) و (۲) و

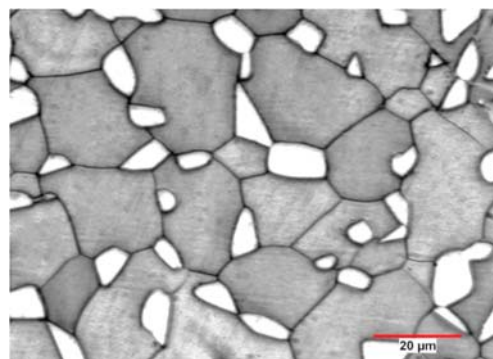
### بررسی خواص مکانیکی

شکل (۵) نمودار تنش-کرنش مهندسی فولادهای پر نیتروژن و کم نیتروژن و فولاد 316LVM را نشان می‌دهد. جدول (۴) نتایج آزمایش تنش-کرنش و سختی را بر روی فولادهای پرنیتروژن و کم نیتروژن نشان داده و این نتایج با فولادهای مشابه مقایسه شده است. همان‌طور که مشاهده می‌شود، استحکام فولاد پرنیتروژن نسبت به فولاد کم نیتروژن بسیار بیشتر است. همچنین افزایش طول فولاد پر نیتروژن نسبت به فولاد کم نیتروژن بیشتر است و در مقایسه با فولاد 316LVM ۳۱۶ دارای استحکام بیشتر و چقرومگی کمتری است. مکانیزم غالب در افزایش استحکام فولاد پرنیتروژن، استحکام محلول جامد است. نیتروژن با ایجاد اعوجاج در شبکه کریستالی استحکام محلول جامد را افزایش می‌دهد [۱۷]. معادله هولومان بر روی کارسختی این فولادها صادق است [۱۸]. این معادله در زیر آمده است:

$$\sigma = k \epsilon^n \quad (4)$$

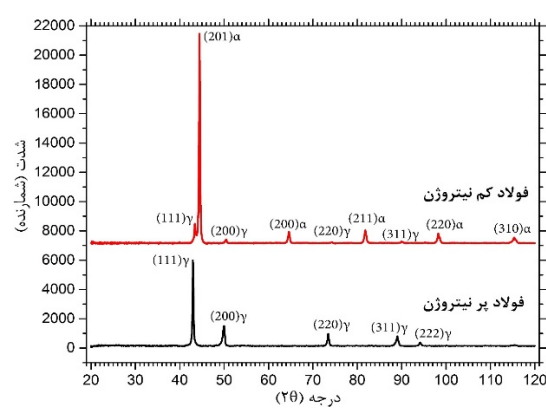
پارامترهای  $n$  و  $k$  معادله (۴) برای دو فولاد مورد استفاده در این تحقیق در جدول (۵) آمده است. این دو پارامتر از نمودار تنش-کرنش حقيقی استخراج شده است. ضریب  $K$  توانایی آستینیت را به کار سخت شدن نشان می‌دهد. نتایج بدست آمده نشان می‌دهد که فولاد پرنیتروژن توانایی بیشتری در کار سخت شدن دارد بدون اینکه پارگی در ماده ایجاد شود. همچنین پارامتر  $n$  نشان‌دهنده سرعت کار سختی است. بیشتر بودن این پارامتر برای فولاد پرنیتروژن نشان دهنده قابلیت بیشتر ماده به تغییر شکل قبل از گلویی شدن نسبت به فولاد کم نیتروژن است [۱۹].

علت اصلی افزایش کارسختی فولاد پر نیتروژن نسبت به فولاد کم نیتروژن، افزایش قابل توجه استحکام محلول جامد فولاد پرنیتروژن نسبت به فولاد کم نیتروژن است. در واقع عناصری که باعث ایجاد بیشترین تغییر در پارامتر شبکه آستینیت می‌شوند بیشترین تأثیر بر استحکام را دارند. نیتروژن و کربن بیشترین اعوجاج در شبکه را ایجاد می‌کنند [۳]. از طرفی دیگر وجود عناصر



شکل ۳ تصویر میکروسکوپ نوری از ریزساختار فولاد کم نیتروژن. فاز روشن‌تر، آستینیت و فاز تیره، فریت است

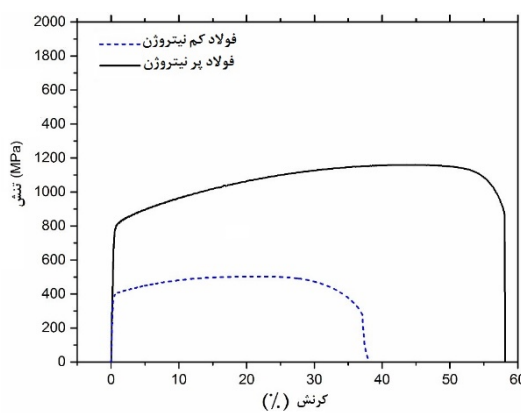
شکل (۴) آزمایش پراش اشعه ایکس را نشان می‌دهد. همان‌طور که مشاهده می‌شود در فولاد پرنیتروژن فقط پیک‌های آستینیت و در فولاد کم نیتروژن فقط پیک‌های آستینیت و فریت مشاهده می‌شود. همچنین مشاهده می‌شود که پیک‌های فاز آستینیت در دو فولاد نسبت به هم تغییر موقعیت اندکی داشته است. این امر نشان دهنده اعوجاج ایجاد شده در شبکه ناشی از حل شدن نیتروژن در فضای اکتاھدرال شبکه FCC آستینیتی است. نیتروژن به دلیل حل شدن بین نشینی در شبکه کریستالی، بیشترین اعوجاج را در شبکه ایجاد می‌کند. میزان اعوجاج شبکه کریستالی نیتروژن  $1/5$  برابر کربن است [۳]. همچنین اثری از پیک هیچ نوع فاز دیگری اعم از کاربید یا ترکیبات بین فلزی مشاهده ننمی‌شود.



شکل ۴ آزمایش پراش اشعه ایکس از دو فولاد پر نیتروژن و کم نیتروژن

انبوه نابجایی‌های قفل شده است [3]. جدول (۴) نتایج سختی سنجی برای دو فولاد پرنیتروژن و بدون نیتروژن و برخی آلیاژهای مشابه را در حالت آنیل محلولی شده نشان می‌دهد. همان‌طور که در جدول (۴) مشاهده می‌شود، سختی فولاد پر نیتروژن حدود ۱۲۴ ویکرز از فولاد بدون نیتروژن بیشتر است. عناصر بین نشین باعث افزایش سختی در فولادهای آستنیتی در حالت آنیل محلولی شده است [21]. حضور کربن و خصوصاً نیتروژن در هر دو فولاد باعث ایجاد اعوجاج در شبکه آستنیت شده و در اثر برهم کنش بیشتر با نابجایی‌ها باعث افزایش سختی می‌شود. همان‌طور که در جدول (۴) مشاهده می‌شود افزایش نیتروژن سبب افزایش سختی در آلیاژهای مشابه نیز شده است که این امر تایید کننده سختی فولادهای مورد آزمایش است.

بین نشین (نیتروژن و کربن) باعث جلوگیری از حرکت نابجایی‌ها در آلیاژ می‌شود. این عناصر با برهم کنش با نابجایی‌ها، مانع حرکت آنها می‌شوند [20]. نابجایی‌ها در فولادهای حاوی عناصر بین نشین با مقادیر بالا، محصور شده‌اند. به همین دلیل این نابجایی‌ها توسط اتم‌های بین نشین قفل می‌شود [17]. مقدار تنش لازم برای آزاد کردن نابجایی‌ها در حدود  $\frac{G}{5}$  تا  $\frac{G}{6}$  است که این عدد بسیار بیشتر از تنش کششی نهایی است. در این شرایط مقدار تنش لازم برای جوانه زنی نابجایی جدید کمتر از آزاد کردن نابجایی‌ها قفل شده است. همین امر سبب می‌شود که در استحکام تسلیم، نابجایی‌ها (به جای اینکه آزاد شوند) با جوانه زنی و رشد نابجایی‌های جدید، باعث ایجاد تغییر شکل در ماده گردد. در واقع در منطقه بعد از استحکام تسلیم کارسختی، ناشی از تقاطع نابجایی‌های ایجاد شده با



شکل ۵ منحنی تنش-کرنش مهندسی فولاد پر نیتروژن و کم نیتروژن

جدول ۴ نتایج آزمایش کشش و سختی برای نمونه‌ها در شرایط آنیل محلولی شده

سختی (Hv)	درصد تغییر طول(%)		استحکام کششی (مگاپاسکال)	استحکام تسلیم (مگاپاسکال)	فولاد
	کل	یکنواخت			
۳۳۱	۵۷	۴۳	۱۱۶۰	۷۹۰	پر نیتروژن
۲۰۶	۳۷	۲۳	۵۰۳	۳۸۷	کم نیتروژن
۱۶۵	۷۳	۵۶	۶۲۴	۳۱۲	[۱۸] 316LVM
۲۴۰	۴۲	-	۶۸۶	۵۶۲	Cr۲۱Mn۵Ni۰/۱۷Mo۰/۰۲N۰/۲۳ [۲۵] (فولاد دو فازی)
-	۴۹	-	۹۳۱	۶۰۷	[۱۲] BioDur 108

می شود [23]. همچنین گفته شده است که نیتروژن باعث بهبود خاصیت رویینگی در فولادها می شود [22]. همان‌طور که در جدول (۶) و شکل (۶) مشاهده می شود، افزایش نیتروژن سبب افزایش پتانسیل رویینگی و افزایش پتانسیل شکست لایه رویین شده است.

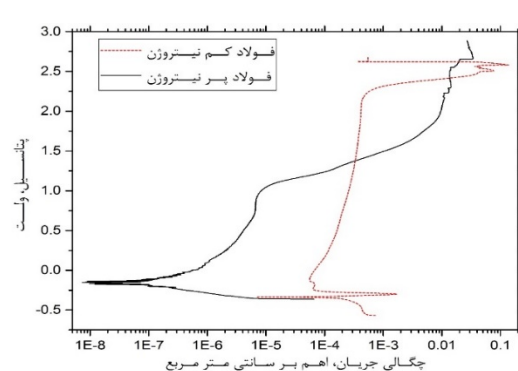
شکل (۷) منحنی نایکوئیست حاصل از طیف‌شناصی امپدانس الکتروشیمیایی دو فولاد کم نیتروژن و پر نیتروژن در محلول رینگر را نشان می‌دهد. همان‌طور که مشاهده می شود در منحنی نایکوئیست هر دو فولاد فقط یک حلقه خازنی ناقص دیده می شود که نشان‌دهنده تشکیل لایه رویین با خواص محافظتی است. نقطه اوج فولاد پر نیتروژن نسبت به فولاد کم نیتروژن در فرکانس‌های بالاتری قرار دارد که این هم امر نشان‌دهنده مقاومت به خوردگی بالاتر فولاد پر نیتروژن است. برای مدل‌سازی نمودارهای نایکوئیست فولادهای مورد استفاده در این تحقیق از مدار معادل شکل (۸) استفاده شد. در این مدار Rct مقاومت انتقال بار، CPE المان فاز ثابت مربوط به فصل مشترک فولاد/ محلول است. نتایج حاصل از برونویابی منحنی نایکوئیست در جدول (۷) قابل مشاهده است. همان‌طور که مشاهده می شود مقاومت فولاد پر نیتروژن نسبت به فولاد کم نیتروژن بسیار بیشتر است (حدود ۹ برابر). این روند افزایش مقاومت فولاد پر نیتروژن نسبت به فولاد کم نیتروژن با کاهش چگالی جریان خوردگی فولاد پر نیتروژن نسبت به فولاد کم نیتروژن در جدول (۶) مطابقت دارد.

جدول ۵ پارامترهای کار سختی از رابطه هولومان محاسبه شده از نمودار تنش-کرنش حقیقی

k	n	فولاد
۱۸۸۸	۰/۲۱	پر نیتروژن
۷۳۵	۰/۱۳	کم نیتروژن

### بررسی خواص خوردگی

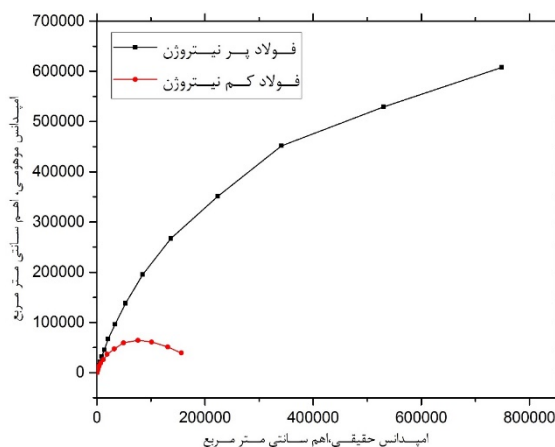
شکل (۶) منحنی پلاریزاسیون پتانسیوپوتومتریک دو فولاد کم نیتروژن و پر نیتروژن را نشان می‌دهد. نتایج حاصل از دو منحنی در جدول (۶) ذکر شده است. همان‌طور که مشاهده می شود چگالی جریان فولاد کم نیتروژن ۹ برابر بیشتر از فولاد پر نیتروژن است. این نشان‌دهنده سرعت خوردگی پایین‌تر فولاد پر نیتروژن نسبت به فولاد کم نیتروژن است. مقدار چگالی جریان در فولاد 316LVM برابر ۵/۱۶۹ میکرومتر بر سانتی‌متر مربع گزارش شده است [22]. همان‌طور که مشاهده می شود مقدار چگالی جریان فولاد 316LVM نسبت به فولاد کم نیتروژن مورد پژوهش ۱۸ برابر و نسبت به فولاد پر نیتروژن ۱۶۰ برابر بیشتر است. این امر نشان از مقاومت به خوردگی بالای فولادهای پر نیتروژن در برابر خوردگی است. در فولاد کم نیتروژن به دلیل داشتن مقدار بیشتر کروم نسبت به فولاد 316LVM باعث افزایش مقاومت به خوردگی شده است. در فولاد پر نیتروژن، علاوه بر کروم، نیتروژن نیز نقش مؤثری را در کاهش سرعت خوردگی ایفا می‌کند. نیتروژن با تشکیل یون آمونیوم و به دنبال آن تشکیل ترکیبات نیتریت و نیترات، باعث کاهش خوردگی



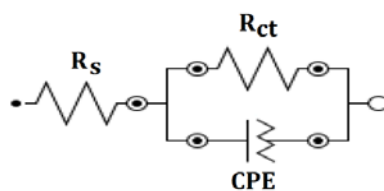
شکل ۶ منحنی پلاریزاسیون پتانسیوپوتومتریک دو فولاد زنگزن آستنیتی پر نیتروژن و بدون نیتروژن در محلول رینگر

جدول ۶ مقادیر اندازه‌گیری شده از منحنی پلاریزاسیون فولادهای پر و کم نیتروژن در محلول رینگر

$E_{bd}$ (V)	LPR ( $\Omega$ )	C. Rate (mm/y)	$I_{corr}$ ( $\mu A/cm^2$ )	$E_{corr}$ (V)	فولاد
-۰/۲۱	$1/۳۵۶ \times 10^0$	۰/۰۰۳۲۵۶	۰/۲۷۷	-۰/۳۷۳۷	کم نیتروژن
۱/۱۵	$2/۶۴ \times 10^{-۱}$	۰/۰۰۰۳۷۱	۰/۰۳۱۶	-۰/۱۴۶۳	پر نیتروژن



شکل ۷ نمودار نایکوئیست دو فولاد پر نیتروژن و کم نیتروژن در محلول رینگر



شکل ۸ نمودار معادل مناسب برای معادل‌سازی نمودارهای نایکوئیست

جدول ۷ نتایج به دست آمده از آزمایش امپدانس فولادهای پر نیتروژن و کم نیتروژن

n	CPE (F/cm <sup>2</sup> )	R <sub>ct</sub> (ohm)	فولاد
۰/۸۲۹۲	$1/۴۵ \times 10^{-۶}$	$1/۷۸۳ \times 10^0$	کم نیتروژن
۰/۸۱۱	$4/۰۱۶ \times 10^{-۷}$	$1/۶ \times 10^0$	پر نیتروژن

استحکام و سختی شده است. به طوری که استحکام تسلیم و استحکام کششی برای فولاد کم نیتروژن و فولاد پر نیتروژن به ترتیب از مقدار ۳۸۷ و ۶۲۸ مگاپا سکال به مقدار ۷۹۰ و ۱۷۳۱ مگاپا سکال تغییر یافته است؛ از طرفی مقدار سختی فولاد پر نیتروژن ۱۲۴ و بکریز بیشتر از فولاد کم نیتروژن است. این امر در حالی که صورت گرفته است که از دیاد طول فولاد

### نتیجه‌گیری

- نیتروژن در فولاد پر نیتروژن باعث ایجاد ساختاری تماماً آستینی شده است؛ در حالی که در فولاد کم نیتروژن به عملت کم بودن این عنصر، ساختار فریتی + آستینی ایجاد شده است. در هر دو فولاد هیچ کاربید و یا ترکیبات بین فلزی مشاهده نشد.
- افزایش نیتروژن در فولاد باعث افزایش قابل توجه در

جریان در فولاد کم نیتروژن برابر ۰/۲۷۷ میکروآمپر  
بر سانتیمتر مربع و در فولاد پر نیتروژن برابر ۰/۰۳۱۶  
میکروآمپر بر سانتیمتر مربع است.

پرنیتروژن نسبت به فولاد کم نیتروژن نیز افزایش یافته است.

۳- افزایش نیتروژن در فولاد باعث کاهش قابل توجه سرعت خوردگی می شود. به طوری که مقدار چگالی

## مراجع

1. Cobb H.M., "The History of Stainless Steel", ASM International, (2010).
2. Bhadeshia H., Honeycombe R., "Steel: Microstructure and Properties", 3rd ed., Butterworth-Heinemann, (2006).
3. Gavriljuk V.G., Berns H., "High Nitrogen Steels: Structure, Properties, Manufacture, Applications", Springer Berlin Heidelberg, (1999).
4. Winters G.L., Nutt M.J., "Stainless Steels for Medical and Surgical Applications", ASTM International, (2003).
5. Yang K., Ren Y., Wan P., "High nitrogen nickel-free austenitic stainless steel: A promising coronary stent material," *Science China Technological Sciences*, Vol. 55, pp. 329-340, (2011).
6. Fontana M.G., "Corrosion Engineering", McGraw-Hill Book Company, (1985).
7. Menzel J., Kirschner W., Stein G., "High nitrogen containing Ni-free austenitic steels for medical applications," *ISIJ international*, Vol. 36, (1996).
8. Uggowitzer P.J., Magdowski R., Speidel M.O., "Nickel Free High Nitrogen Austenitic Steels," *ISIJ International*, Vol. 36, pp. 901-908, (1996).
9. Balachandran G., Bhatia M.L., Ballal N.B., Rao P.K., "Some Theoretical Aspects on Designing Nickel Free High Nitrogen Austenitic Stainless Steels," *ISIJ International*, Vol. 41, pp. 1018-1027, (2001).
10. Klueh R.L., Maziasz P.J., Lee E.H., "Manganese as an austenite stabilizer in Fe-Cr-Mn-C steels," *Materials Science and Engineering A*, Vol. 102, pp. 115-124, (1988).
11. Thomann U.I., Uggowitzer P.J., "Wear-corrosion behavior of biocompatible austenitic stainless steels," *Wear*, Vol. 239, pp. 58-48, (2000).
12. Walter M.J., "stainless steel for medical implants," Advanced Materials & Processes, Vol. 164, pp. 84-86, (2006).
13. Jiang Z.-h., Zhang Z.-r., Li H.-b., Li Z., Qi-feng M., "Microstructural evolution and mechanical properties of aging high nitrogen austenitic stainless steels," *International Journal of Minerals, Metallurgy, and Materials*, Vol. 17, pp. 729-736, (2010).
14. Fullman R.L., Fisher J.C., "Formation of annealing twins during grain growth," *Journal of Applied Physics*, Vol. C, pp. 1350-1355, (1951).
15. گلزار م.ع., "اصول و کاربرد عملیات حرارتی فولادها", ویرایش دوم، دانشگاه صنعتی اصفهان, (۱۳۸۵).

16. Vanderschaeve F., Taillard R., Foct J., "Discontinuous precipitation of Cr<sub>2</sub>N in a high nitrogen, chromium-manganese austenitic stainless steel," *Journal of Materials Science*, Vol. 30, pp. 6035-6046, (1995).
17. Berns H., Gavriljuk V., Riedner S., "High Interstitial Stainless Austenitic Steels", Springer Berlin Heidelberg, (2013).
18. Talha M., Behera C.K., Sinha O.P., "Effect of nitrogen and cold working on structural and mechanical behavior of Ni-free nitrogen containing austenitic stainless steels for biomedical applications," *Materials Science and Engineering C*, Vol. 47, pp. 196-203, (2015).
19. Akbarpour M.R., Ekrami A., "Effect of ferrite volume fraction on work hardening behavior of high bainite dual phase (DP) steels," *Materials Science and Engineering A*, Vol. 477, pp. 306-310, (2008).
20. Abbaschian R., Abbaschian L., Reed-hill R.E., "Physical Metallurgy Principles", 4<sup>th</sup> ed., Cengage Learning, (2008).
21. Ohkubo N., Miyakusu K., Uematsu Y., Kimura H., "Effect of Alloying Elements on the Mechanical Properties of the Stable Austenitic Stainless Steel," *ISIJ International*, Vol. 34, pp. 764-772, (1994).
22. Talha M., Behera C.K., Sinha O.P., "In-vitro long term and electrochemical corrosion resistance of cold deformed nitrogen containing austenitic stainless steels in simulated body fluid," *Materials Science and Engineering C*, Vol. 40, pp. 455-466. (2014),
23. Shih H., "Corrosion Resistance", InTech, (2012).
24. Lai J.K.L., Shek C.H., Lo K.H., "Stainless Steels: An Introduction and Their Recent Developments", Bentham Science Publishers, (2012).
25. Kumar A., "Development and Characterization of Nickel Free Duplex Stainless Steel," Master of Science Thesis, Materials Science and Engineering, Thapar University, (2008).